

## (14) 軟岩の力学特性に及ぼす不連続面の影響

京都大学防災研究所 ○足立 紀尚  
富山県庁 林 正之

### 1.はじめに

理想的推積軟岩として多孔質凝灰岩である大谷石を選び軟岩の力学特性を調べたところ、硬岩や土質材料と力学特性が定性的には何ら変りないことが明らかとなつた。<sup>1)</sup> さらに対象とする岩石特有の拘束圧(先行履歴応力)以下では応力-ひずみ関係がひずみ硬化-軟化型となり、最大強度、残留強度双方が工学的に重要な意味を有することを示した。ただし、残留強度とは有効応力を荷重からそれ以上変化しないで、単にせん断変形のしきが維持する状態であり、せん断破壊によって生じた破断面に沿ってすべての状態の応力をいう。この状態で供試体中に生じてある破断面は最大主応力の作用方向に対して最もすべり易い方向にあるから、残留強度は不連続面(弱面)をもつ岩盤の強度としてかなり最小値に等しいと考えられる。換言すると、岩盤の強度の下限値は岩石の残留強度に一致するはずである。図-1は二つのことを模式的に示したものである。この不連続面や弱面を持つ岩盤の強度は上限値を岩石の強度に、下限値を岩石の残留強度にとり、一般的にはその範囲内にあることを表わしている。この考え方に対する資料の集積も既存の不連続面を有する供試体を用いた実験を行なう定量的把握する必要がある。

本研究はこれまでと同様、大谷石を用いた不連続面が軟岩の力学特性に及ぼす影響を考察したものである。それは軟岩といえども対象とするのは地質分離面を含む岩盤であって、不連続面の影響を解明することは重要であり、かつ硬岩から成る岩盤の定性的には類似の挙動を示し、一般的には岩盤の力学挙動を併せて把握するため役立つ。資料が求まるに至るまでの過程で、岩盤が岩石と不連続面の組合せであることを理想的に表現するため、軸荷重方向に對して種々の角度をもつ切削面をあらかじめ与えた円柱形供試体を準備して拘束圧を変えて三軸圧縮試験を行なう。既存の不連続面が変形挙動にいかに影響を及ぼすか、強度特性がどうよる影響を受けるかを調べ、図-1に示す考え方を検討することにより、岩石試験結果を用いて岩盤の強度を推定する方法を確立することを試みる。

切削面を与えて行なう二種の研究は多い。しかし、大半は強度特性、特に最大強度に関するものであって、残留強度については変形特性にまで言及したもののは限られていく。また隙隙を有する水で飽和した軟岩を対象としたものは見当らない。

### 2. 実験方法

供試体は直徑5cm、高さ10cmの円柱形である。試験には軸荷重(最大主応力)作用面と種々の角度 $\alpha$ を成す切削面を入山した供試体と切削面の供試体を用いる。水で飽和した軟岩を対象とするから、供試体を容器内の水に浸せき24時間以上サクションをかけて脱気を行なう。飽和した。

実験は3kg/cm<sup>2</sup>のバッファレッシャーのもので、有効側圧を $\sigma'_3=1, 3, 5, 6, 10, 20\text{ kg/cm}^2$ と変化させ、ひずみ制御( $\dot{\epsilon}=0.027\%/\text{min}$ )による排水せん断試験である。

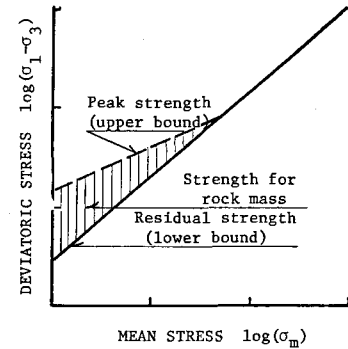


図-1. 岩石の強度と岩盤の強度

### 3. 切断面を有する軟岩の力学挙動

#### 切断面の角度から拘束圧と破壊形態

切断面をもつ供試体がどのよろへ破壊するかをみてみよう。図-2は破壊形狀を示すが、図中の点線は既存の切断面を、実線は破壊すべり面を示してある。図から拘束圧( $\sigma_3' \leq 10 \text{ kg/cm}^2$ )の場合、 $\alpha = 0^\circ, 15^\circ, 30^\circ$ の切断面をもつ供試体は切断面をもたない場合と同様に周囲のせん断すべり面を生じて破壊するが、 $\alpha = 45^\circ, 60^\circ$ の場合には既存の切断面に沿って破壊であることがわかる。ところが、 $\alpha = 45^\circ$ では  $10 \text{ kg/cm}^2$  以上、 $\alpha = 60^\circ$ では  $20 \text{ kg/cm}^2$  と拘束圧が高くなるにつれて他の角度の場合と同様に既存の切断面に周囲のせん断すべり面が生ずるが、ビザ樽形の供試体全般に渡るせん断破壕を示すようになる。すなわち、大谷石の有効側圧が  $\sigma_3' = 20 \text{ kg/cm}^2$  の場合、せん断破壕時の応力は先行履歴応力( $\sigma_m' = 50 \text{ kg/cm}^2$ )近傍にある、既存の切断面に影響を受けて応力状態に至つてある。

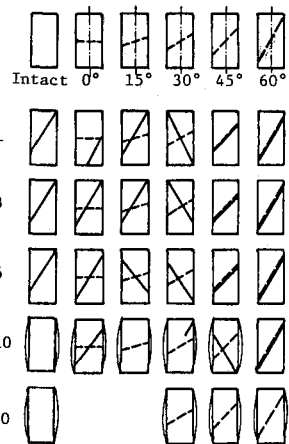


図-2 切断面と破壊すべり面

#### 応力-ひずみ関係

大谷石は先行履歴応力  $\sigma_m' = 50 \text{ kg/cm}^2$  を境にし、それ以下ではひずみ硬化-軟化型の応力-ひずみ関係を、それ以上ではひずみ硬化型の関係を示す。図-3, 4 は得られた応力-ひずみ関係を(a)軸差応力( $\sigma_1 - \sigma_3$ )~偏差ひずみ  $e_1(\varepsilon_1 - \varepsilon_1/3)$  の関係と(b)軸横ひずみ  $v$ ~偏差ひずみの関係として示してある。図-3は有効側圧  $\sigma_3' = 1 \text{ kg/cm}^2$  (CD-1を表示)、図-4は  $\sigma_3' = 20 \text{ kg/cm}^2$  の結果である。

実験結果得られるところをまとめると以下のようである。

- (1). 拘束圧が先行履歴応力以下の場合、 $\alpha$ が  $45^\circ$ と  $60^\circ$ を除いて intact rock と同様、顯著なひずみ硬化-軟化型の応力-ひずみ関係を示し、既存の切断面とは無関係にせん断面が新たに生じ、軸横膨脹を伴つて破壊

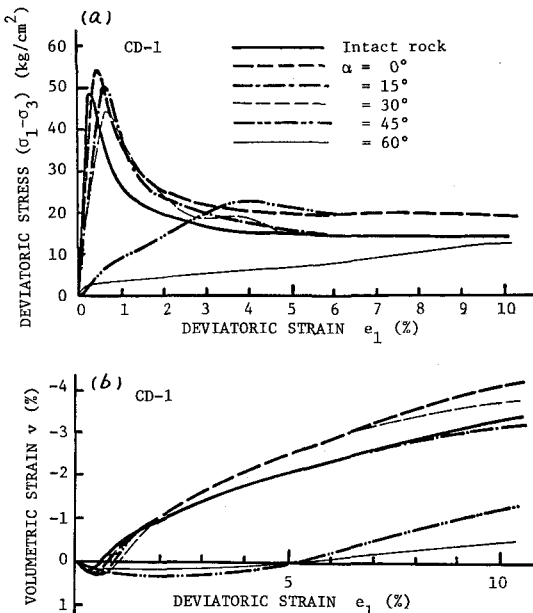


図-3 応力-ひずみ関係 ( $\sigma_3' = 1 \text{ kg/cm}^2$ )

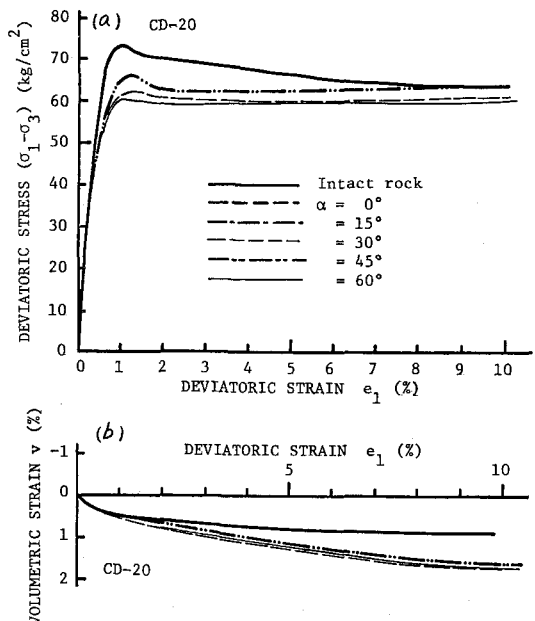


図-4 応力-ひずみ関係 ( $\sigma_3' = 20 \text{ kg/cm}^2$ )

す。しかし、 $\alpha = 45^\circ, 60^\circ$ では既存・切削面に沿うすべり破壊となり、弾-完全塑性型に近いが、单调なひずみ硬化型の応力-ひずみ関係を示し、併積強度合せ他に比較して小さい。

(2). 拘束圧が先行復屈応力に近いが、それ以上にせん断既存・切削面力学挙動に影響を与える。

### 切削面の弾性係数Gと之の影響

切削面の存在とその角度によって、せん断弾性係数Gと併積弾性係数Kがいかに影響を受けるかを調べてみた。種々の角度をもつ不連続面が内在すると岩石の力学特性には方向性(異方性)が現れる。しかし、これは岩石を等方性材料と仮定して弾性係数を決定する方法を適用し、その結果求めた値の差に異方性が生じると考える。軸対称三輪試験の場合、軸差応力( $\sigma_1 - \sigma_3$ )～偏差ひずみEの関係の初期の勾配からせん断弾性係数Gは次式で決定できる。

$$G = (\sigma_1 - \sigma_3) / 2AE \quad (1)$$

併積弾性係数は平均有効応力 $\sigma_m'$ ～併積ひずみの関係の初期の勾配より次式で求められる。

$$K = A\sigma_m' / \Delta E \quad (2)$$

図-5は図-3などと同様に(1)式を適用して決定したせん断弾性係数Gとintact rockの弾性係数 $G_c$ で標準化して、角度 $\alpha$ をパラメータとして(a)に $\sigma_3' = 1 \text{ kg/cm}^2$ , (b)に $\sigma_3' = 6 \text{ kg/cm}^2$ , (c)に $\sigma_3' = 20 \text{ kg/cm}^2$ の場合を示してある。

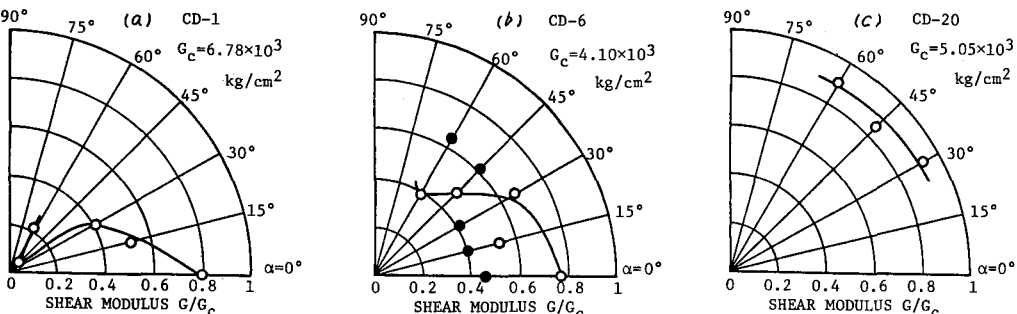


図-5. せん断弾性係数Gに及ぼす切削面の影響 (a)  $\sigma_3' = 1 \text{ kg/cm}^2$ , (b)  $\sigma_3' = 6 \text{ kg/cm}^2$ , (c)  $\sigma_3' = 20 \text{ kg/cm}^2$

得られた結果をまとめると以下の通りである。

- (1). せん断弾性係数Gは切削面の存在とその角度によって変化し、 $\alpha = 45^\circ$ 近傍で最小値となる。しかし、拘束圧が大きくなると切削面の存在と角度による差異は少くなくなる。 $\alpha = 45^\circ$ で最小値となる理由は $\alpha = 45^\circ$ で残留強度が大きくなることと表裏を打つのである。すなわち、供試体中の最大せん断応力は常に $45^\circ$ 面内に作用するから、 $\alpha = 45^\circ$ に弱面があるとせん断初期に最も変形し易く、従ってせん断弾性係数は小さな値となる。
- (2). ここには示していないが、併積弾性係数Kはintact rockの $K_c$ に比較すると小さな値となるが、切削面の角度に対する影響は少くない。
- (3). 図-5(b)中に黒丸で示す値は $\alpha \approx 5\%$ 近傍で除荷-再載荷を行った際の再載荷時の勾配から求めた弾性係数Gである。 $\alpha \leq 30^\circ$ では白丸で示す初期弾性係数Kに比較して小さな値となり、オーダー的には変化はない値となることは注目に値する。

### 切削面の最大ひずみ残留強度に及ぼす影響

図-3などの応力-ひずみ関係から最大強度が切削面の角度に対する値をとることが明らかである。図-6は

intact rock の最大強度  $q_c$  で規準化し、角度  $\alpha$  をパラメーターに最大強度を引いてあるが、図中の黒丸は残留強度を、点線で示す円弧は intact rock の残留強度である。

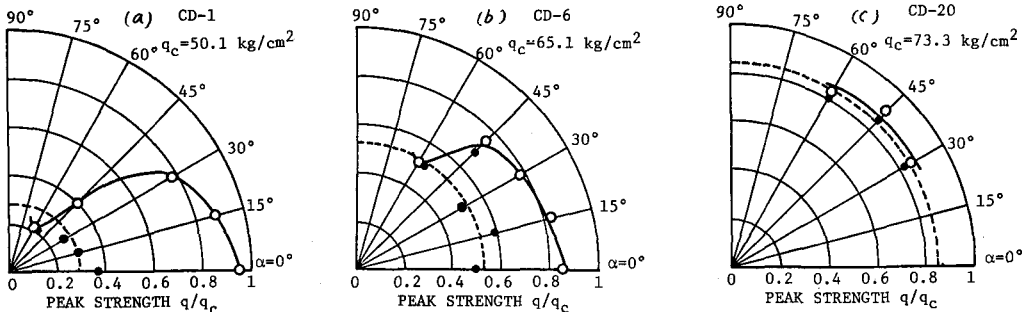


図-6. 最大強度と残存強度に及ぼす切削面の影響 (a)  $q'_c = 1 \text{ kg/cm}^2$ , (b)  $q'_c = 6 \text{ kg/cm}^2$ , (c)  $q'_c = 20 \text{ kg/cm}^2$

図からのお約翰は以下のようにある。

- (1). 最大強度は切削面の角度により影響され、 $\alpha = 60^\circ$ で最小値となり他の角度の残存強度にはほぼ等しい。しかし、側圧が増加すると切削面の有無に關係なく最大と残存強度が近似的に等しい値となる。
- (2). 残存強度は intact rock の残存強度と変わらず切削面の角度に影響されないが、 $\alpha = 45^\circ$ の残存強度は他の比較してやや大きな値となる。

#### 4. 不連続面を有する軟岩の破壊規準

先に軟岩の破壊規準として Hobbs らが岩石材料に対して提唱するべき関数型の破壊規準が応力間の条件式で、また応力と荷重ひずみ間には土槽材料の critical state に対して成立する条件式がそれと通用できることを示し、新しい軟岩の最大強度と残存強度双方に対する破壊条件式を提案した。この破壊条件式、とくにべき関数型の破壊規準が不連続面を有する軟岩の破壊条件式として適用できるか検討したことと、図-7の予測が成立することが明らかになった。破壊規準は最大強度と残存強度を用いて次式で与えられる。

$$(8/20\bar{\sigma}_n')_{peak} = \alpha_p^* (\bar{\sigma}_n' / \bar{\sigma}_{n0}') \beta_p^* \quad \dots \quad (3), \quad (8/20\bar{\sigma}_n')_{residual} = \alpha_R^* (\bar{\sigma}_n' / \bar{\sigma}_{n0}') \beta_R^* \quad \dots \quad (4)$$

ここで  $\bar{\sigma} = (\sigma_1 + \sigma_3)/2$ ,  $\bar{\sigma}_{n0}' = 1 \text{ kg/cm}^2$ ,  $\bar{\sigma}_n' = (\sigma_1' + \sigma_3')/2$ ,  $\alpha_p^*$ ,  $\beta_p^*$ ,  $\alpha_R^*$ ,  $\beta_R^*$  は試料定数である。図-7は各切削面の角度に対する決まり式(3)式を1つずつとめてあり、図-1を考証すれば実証することができる。式(3), (4)は全て角強度定数  $\alpha_p^*$ ,  $\alpha_R^*$ ,  $\beta_p^*$ ,  $\beta_R^*$  と切削面の角度  $\alpha$  の関係を検討すると、例えば  $\alpha_p^*$ ,  $\alpha_R^*$  に対して図-8が表す。  $\beta_p^*$ ,  $\beta_R^*$  についても同様の図を求めて、 $\alpha_p^*$ ,  $\beta_p^*$  は  $\alpha$  の関数で表される、 $\alpha_R^*$ ,  $\beta_R^*$  は一定と考証することができる。  $\alpha_p^*$ ,  $\beta_p^*$  は  $\alpha$  に関する関数形を示すと(3), (4)式が確定することになる。

- 参考文献  
1) 足立、小川; 軟岩の力学特性と破壊規準、土木学会論文報告集、No.295, 1980.3.

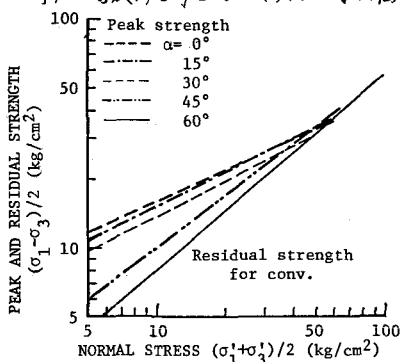


図-7. 最大強度の破壊規準

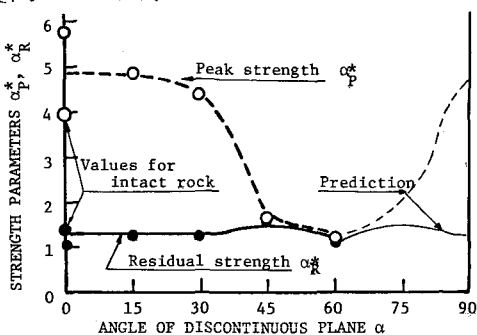


図-8. 切削面の角度  $\alpha$  と強度定数  $\alpha_p^*$ ,  $\alpha_R^*$  の関係

## EFFECTS OF JOINTS ON MECHANICAL PROPERTIES OF SOFT ROCKS

Toshihisa ADACHI and Masayuki HAYASHI

Since even for soft rock mass they contain the geological discontinuities, it is required to clarify the effects of the discontinuities on the mechanical properties of soft rock mass. In order to ideally simulate the mechanical behaviors of rock consisting of intact rocks and discontinuities, triaxial compression tests are conducted by using specimens each of which has a saw cut plane with various angle  $\alpha$  to the maximum principal stress plane.

Throughout this investigation, the following conclusions are summarized.

- (1). Under the confining pressure less than the prehistorical pressure, the stress-strain relations are affected by the existence of discontinuity and the angle  $\alpha$  between the discontinuity plane and the maximum principal stress plane. When, however, the confining pressure becomes higher than the prehistorical pressure, the mechanical behaviors do not depend on the existence of discontinuities.
- (2). The shear modulus  $G$  changes the value with the angle of discontinuity, but the bulk modulus  $K$  is not so much influenced by the angle. The elastic moduli of the specimen having discontinuity are smaller than of the intact rock specimen, but the values remain in the same order.
- (3). When the confining pressure is less than the prehistorical pressure, the peak strength value changes with the angle  $\alpha$  and takes its minimum value for the angle  $\alpha=60^\circ$ . The residual strength, however, is not influenced by the existence of discontinuity and has the same value of the residual strength of intact rock specimen. The peak strengths of the specimens with discontinuities lie between the peak and residual strengths of the intact rock as the upper and the lower bound, respectively.
- (4). The peak and residual strength criteria for the specimens with discontinuities are given as following relations.

For peak strength

$$(q/2\sigma'_{no})_{peak} = \alpha_p^*(\sigma'_n/\sigma'_{no})^{\beta_p^*}$$

For residual strength

$$(q/2\sigma'_{no})_{residual} = \alpha_r^*(\sigma'_n/\sigma'_{no})^{\beta_r^*}$$

in which  $q/2 = (\sigma'_1 - \sigma'_3)/2$ ,  $\sigma'_n = (\sigma'_1 + \sigma'_3)/2$  and  $\sigma'_{no}$  may be say  $1 \text{ kg/cm}^2$ .

The material constants  $\alpha_p^*$  and  $\beta_p^*$  for the peak strength are functions of the discontinuity angle  $\alpha$ , but  $\alpha_r^*$  and  $\beta_r^*$  for the residual strength take approximately constant values.